

# I2 STATIČKI NEODREĐENI NOSAČI

## I2.I Uvod

Prvo se valja prisjetiti općih prednosti što ih statički neodređeni nosači imaju u odnosu na statički određene:

- **Manji su momenti savijanja pri jednaku rasponu i pod jednakim opterećenjima.**
- **Manji su progibi pri jednakoj krutosti.**
- Imaju **veću sigurnost u graničnomu stanju nosivosti.**

Ovo vrijedi za **sve** vrsti nosača (bez obzira na gradivo), a **PB nosači** imaju još **dvije dodatne prednosti**:

- Potrebno je **manje skupih sidara** i
- **Manji je utrošak** (također skupoga) **rada na prednapinjanju.**

Naravno, PB nosači imaju i **nedostataka**, pa i **krupnih**.

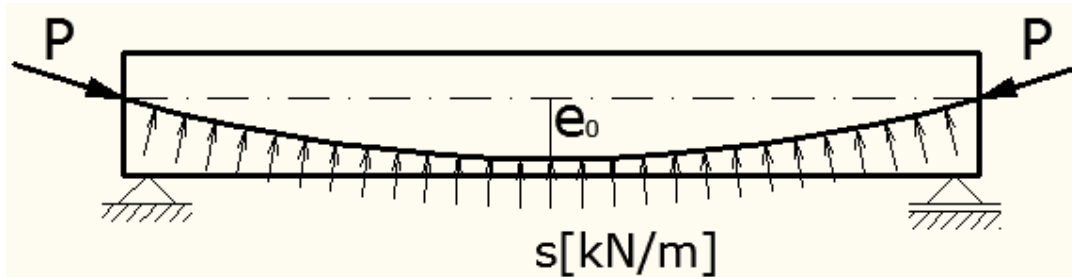
## 12.1 Uvod

Najkrupniji su ovi nedostatci:

- Vrlo su **osjetljivi na prisilna izobličenja**, a osobito na **slijeganje ležajeva**.
- **Učinkovitost prednapinjanja** općenito je **znatno manja** nego u **statički određenih nosača**.

Međutim, vrlo je važno naglasiti kako se **MOGU PREDNAPINJATI SAMO ONI NOSAČI ŠTO SE MOGU NESMETANO SKRAĆIVATI PRI TOMU.**

Prije nego što priđemo na razmatranje **učinka statičke neodređenosti**, prisjetimo se kakav je **učinak napinjanja**



Slika 12.1: Skretne sile zakrivljene natege

**natega** na običan, **statički određen nosač** (slika 12.1). Duž natege djeluju još **sile trenja**.

## 12.1 Uvod

Na predhodnoj je slici predočen slučaj **jednoliko zakriviljene natege**, kakva se najčešće rabi, a sve što ćemo o njoj reći **načelno vrijedi** i za **natege izlomljene osi**.

Dakle na AB nosač djeluju ove **vanjske sile**:

- **sile uvođenja** ili **sidrene sile** (najčešće na **čelima nosača**);
- **skretne sile** i
- **sile trenja**.

Kao što smo vidjeli u poglavljiju o **djelovanju prednapinjanja na AB sklop**, ovim se silama **AB nosač suprotstavlja sustavom samouravnoteženih naprezanja** (njem. *Eigenspannungszustand*).

Dakle ove **VANJSKE SILE NE IZAZIVAJU NIKAKVE DODATNE PRIDRŽAJNE SILE** (reakcije) u potporama pod nosačem.

## 12.1 Uvod

To oda znači da ako znamo **tijek sile prednapinjanja duž nosača**, što se dobije **odbijanjem gubitaka sile od trenja i prokliznuća klina** od **nazivne početne sile**, možemo u **svakom presjeku nosača** dobiti **mjerodavne rezne sile**:

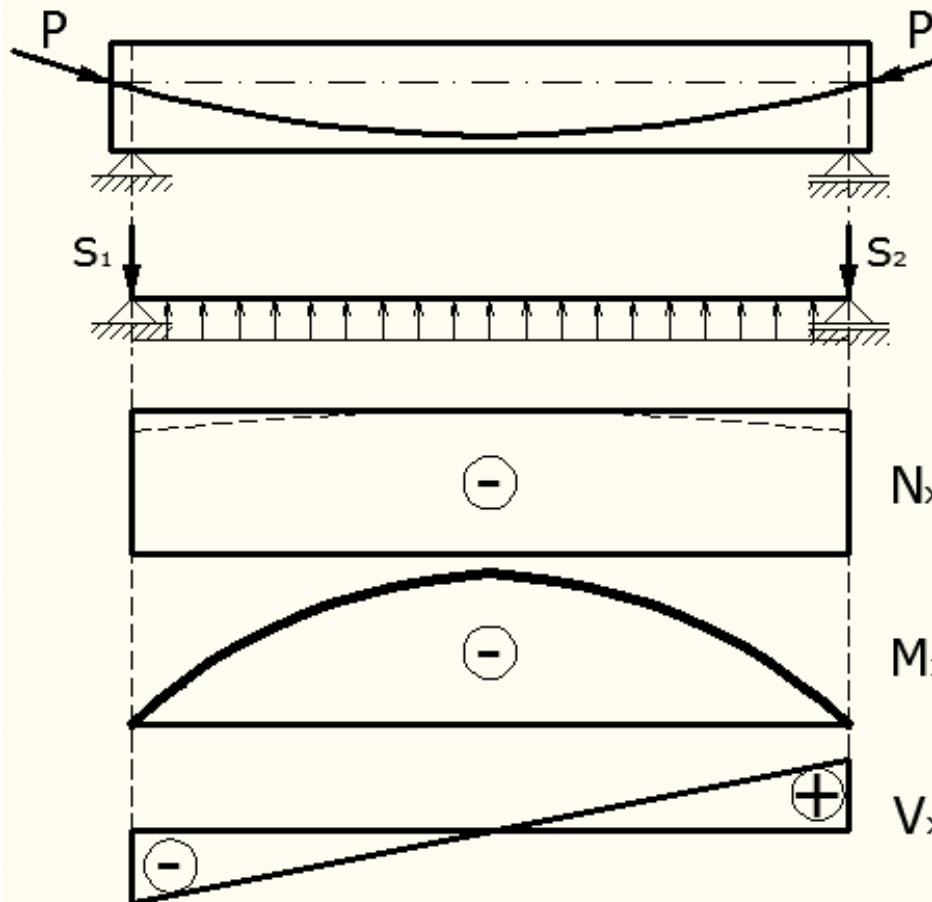
- **uzdužnu silu;**
- **moment savijanja i**
- **poprečnu silu.**

U doba kada su se **proračuni** obavljali **ručno** ("pješice") u pravilu se je crtao samo **tijek sile prednapinjanja** (što je ujedno i **tijek uzdužne sile**), dok su se **ostale dvije rezne sile** određivale samo u **mjerodavnim presjecima**.

**Danas**, kada raspolazemo moćnim **računalima**, predočuju se tijekovi **svih triju reznih sila**.

Na slici 12.2 predočeni su, **pojednostavnjeno**, tijekovi triju reznih sila.

## 12.1 Uvod



Slika 12.2: Rezne sile od djelovanja zakrivljene natege

Onda bi se tijek **momenata** savijanja trebao sastojati od odsječaka **parabola** i pravaca.

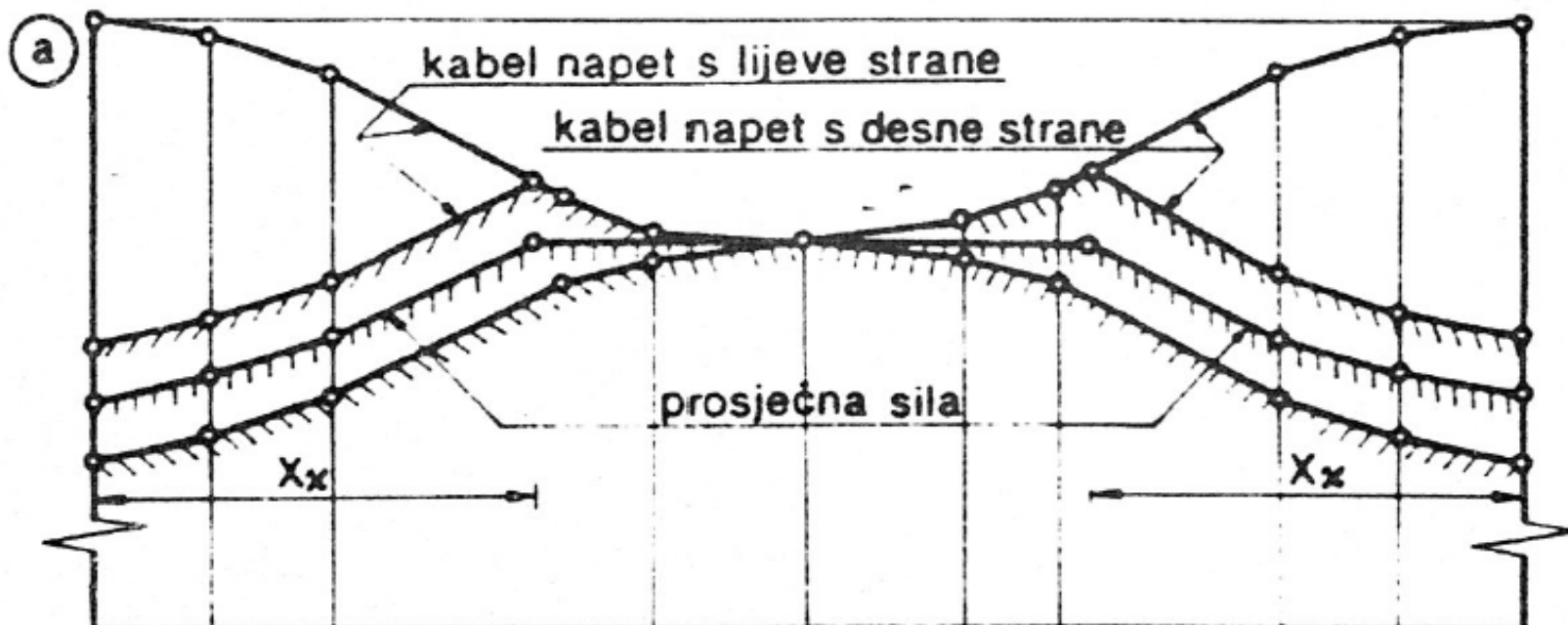
Slično bi tijek **poprečne sile** bio niz odsječaka **pravaca**.

Pojednostavljenja se tiču i **uzdužne sile** (ispredikidano je predočen "točniji" tijek) i, osobito, **momenta savijanja** i **poprečne sile**. Naime, ako se prisjetimo određivanja **gubitaka sile prednapinjanja od trenja** i **prokliznuća klina**, vidjet ćemo da bi **uzdužna sila** trebala biti predočena crtom sastavljenom od **odsječaka pravaca**.

## 12.1 Uvod

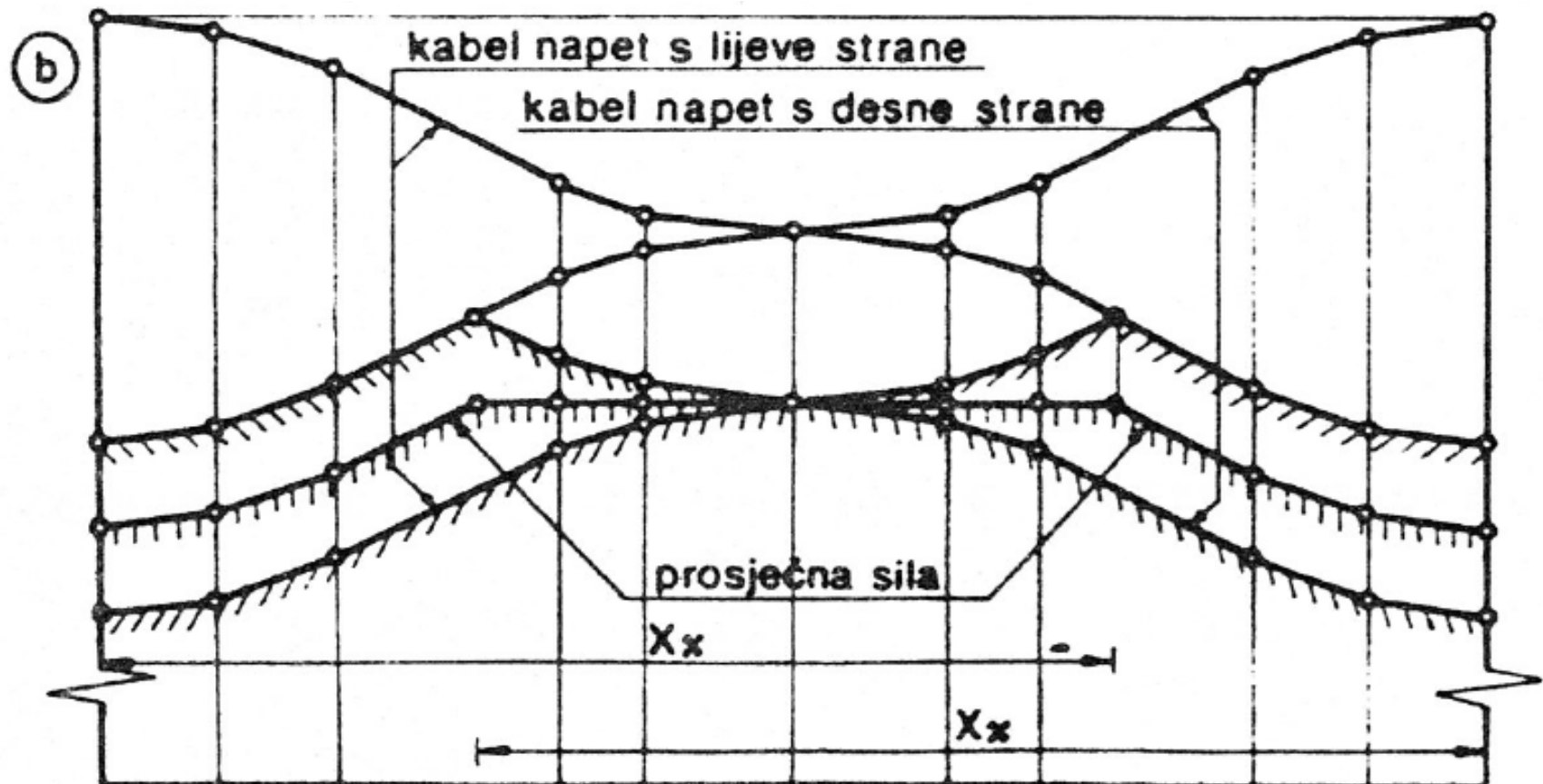
Djelovanje prednapinjanja kao sustava vanjskih sila osobito se rado rabi pri proračunu statički neodređenih sustava, kako ćemo vidjeti kasnije.

Zato predočimo još jednom tijek sile prednapinjanja u zavisnosti od dosega utjecaja prokliznuća klina (slike 12.3 i 12.4).



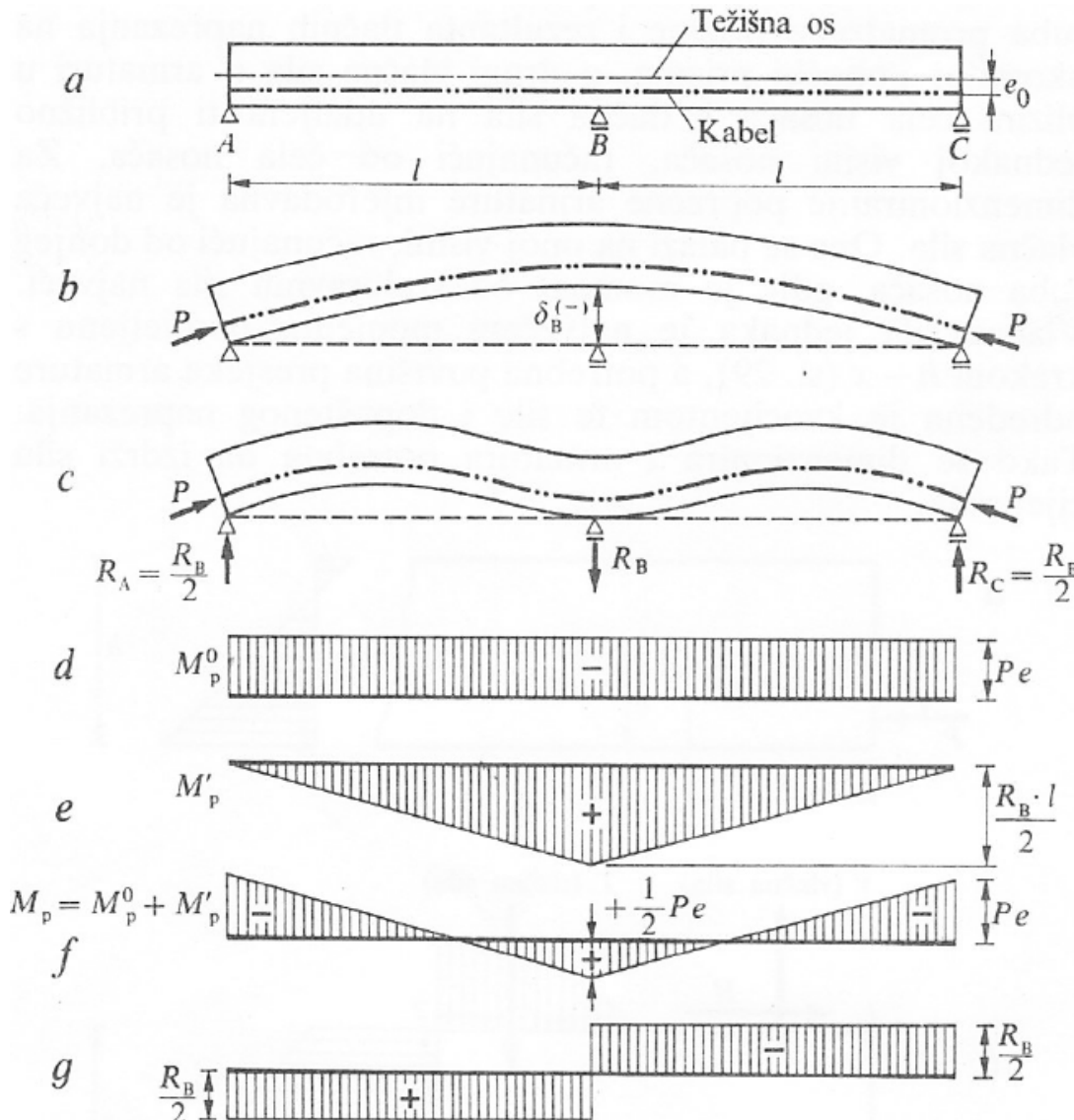
Slika 12.3: Zavisnost veličine sile prednapinjanja od dosega utjecaja prokliznuća klina; utjecaj ne seže do polovišta raspona

## 12.1 Uvod



Slika 12.4: Zavisnost veličine sile prenapinjanja od dosega utjecaja prokliznuća klina; utjecaj seže do iza polovišta raspona

## 12.2 Djelovanje statičke neodređenosti



Slika 12.5: Progibi, momenti savijanja i poprečne sile statički neodređenog PB nosača

**U statički neodređenim PB nosačima pojavljuju se dodatne rezne sile.**

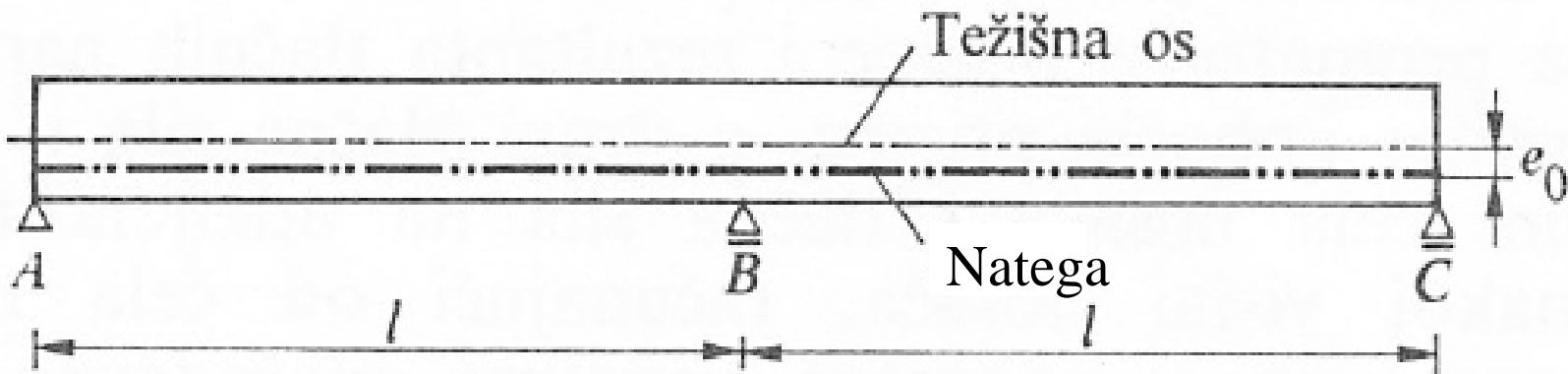
**Statički određeni nosač, naime, slobodno se izobličuje pod djelovanjem momenata od sile prednapinjanja, dok statički neodređeni nosač ima prekobrojne veze što sprječavaju izobličavanje (slika 12.5).**

## 12.2 Djelovanje staticke neodređenosti

Na mjestu tih veza moraju se pojaviti **pridržajne sile** (reakcije) što zajedno s pridržajnim silama u **skrajnjim ležajevima** tvore **uravnotežen sustav sila**.

Djelovanjem tih pridržajnih sila nastaju **prekobrojni** (statički neodređeni) **momenti savijanja** raspodijeljeni duž cijelog **nosača**.

To se najzornije vidi na primjeru grede preko dvaju jednakih **polja** prednapete **pravom nategom** udaljenom za  $e_0$  od težišne osi nosača (slika 12.5a).

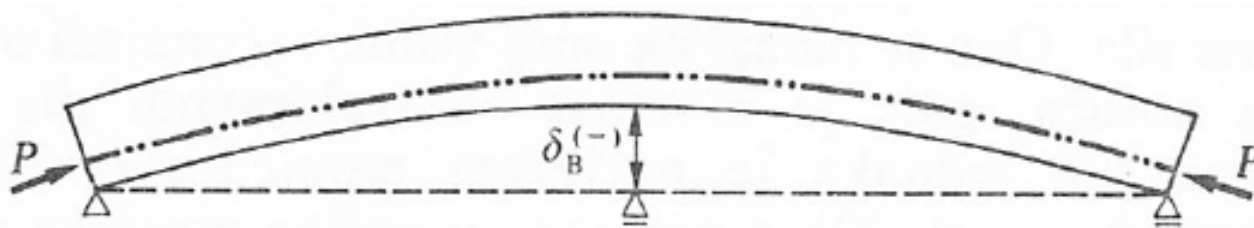


Slika 12.5a:AB nosač preko dvaju polja prije napinjanja natege

## 12.2 Djelovanje staticke neodređenosti

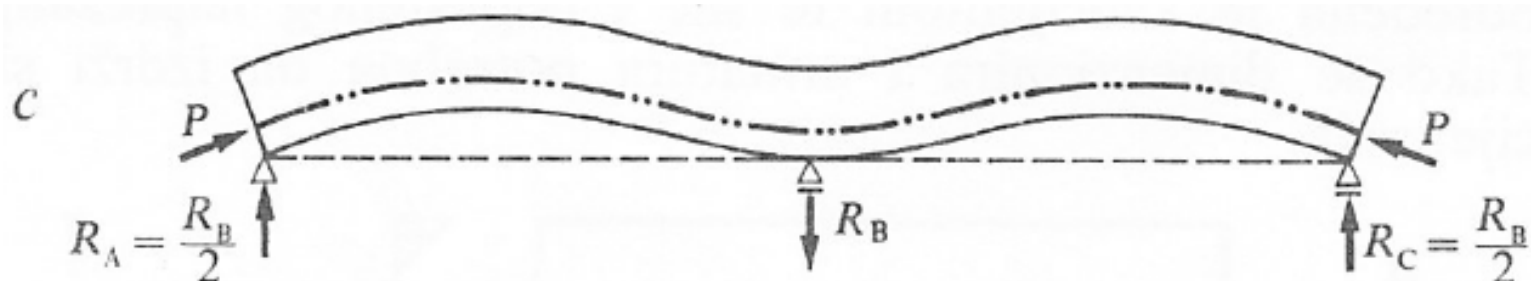
Zbog **sile prednapinjanja** nastaje **moment savijanja nepromjenjiv** duž cijelog raspona.

Kada ne bi bilo **međupotpore B**, nosač bi se **prognuo prema gore** (slika 12.5b).



Slika 12.5b: AB nosač nakon napinjanja natege; međupotpora ne pridržava nosač

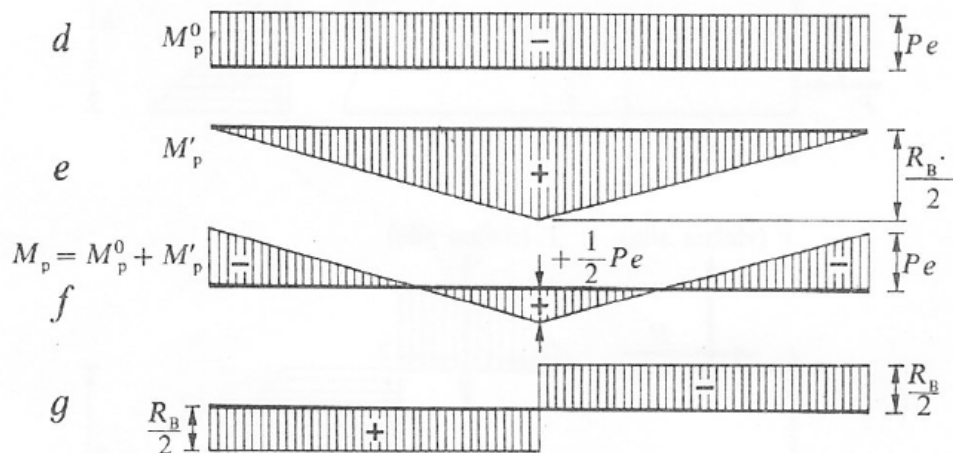
Budući da **međupotpora postoji**, zbog čega se **nosač ne može uzdići**, na tom mjestu djeluje **pridržajna sila  $R_B$**  usmjerena prema **dolje** (slika 12.5c).



Slika 12.5c: AB nosač nakon napinjanja natege; međupotpora pridržava nosač

## 12.2 Djelovanje staticke neodređenosti

Kako bi nosač bio u **ravnoteži**, moraju na **skrajnje ležajeve, A i C**, djelovati **suprotno usmjerene, međusobno jednake**, pridržajne sile,  $R_A$  i  $R_C$  (slika 12.5c).



Slika 12.5d:Tijekovi reznih sila duž PB nosača

**Momenti,  $M_x$ , što nastaju djelovanjem pridržajnih sila zbrajaju se algebarski s momentima od sile prednapinjanja, pa je moment u presjeku x (slika 12.5d):**

$$M_{px} = P \cdot e_0 + M_x \quad (12.1)$$

Na istoj je slici predložen i tijek poprečnih sila.

Iz izraza (12.1) lako se dobije djelotvorna mimoosnost (efektivna ekscentričnost) sile u staticki neodređenu nosaču:

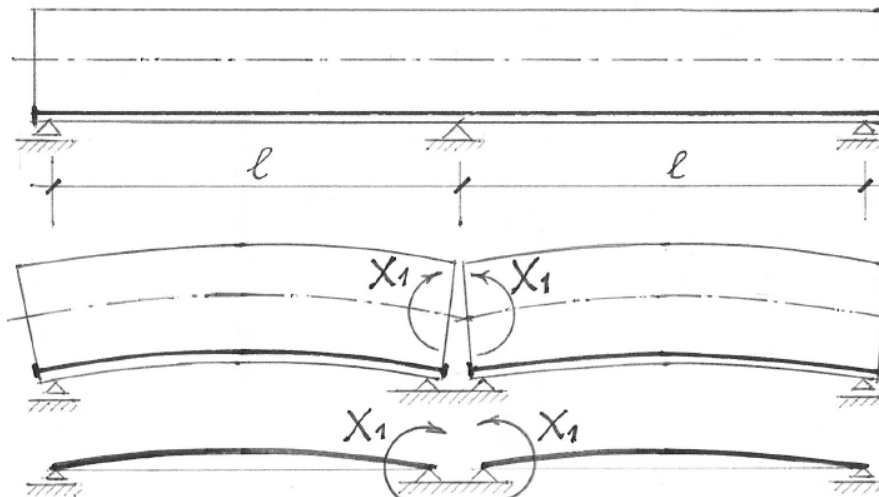
$$e_{eff} = e_0 + \frac{M_x}{P} \quad (12.2)$$

## 12.2 Djelovanje statičke neodređenosti

Za proračun **statički neodređenih PB nosača** mogu se primijeniti **svi postupci** s pomoću kojih se proračunavaju **statički neodređeni nosači**.

Ipak, za **niže stupnjeve statičke neodređenosti** najprikladniji su **metoda sila i postupak zaokretnih kutova**.

Pokažimo metodu sila na primjeru nosača predviđena na slici 12.5a i pretpostavimo da smo ga **rasjekli nad potporom** u dva dijela (slika 12.6).



Slika 12.6: Postupak određivanja nepoznatog momenta od statičke neodređenosti

## 12.2 Djelovanje statičke neodređenosti

Svaki je od ovih dijelova nosača **statički određen**.

Međutim, moramo imati na umu kako su oni **spojeni nad potporom**, dakle da čine **cjelinu**.

U tu ćemo svrhu ispisati **jednačbu protežnosti (kontinuiteta)**:

$$X_1 \cdot \delta_{11} + \delta_{1v} = 0 \quad (12.3)$$

Iz nje se neposredno dobije vrijednost **statički neodređenoga momenta** nad potporom:

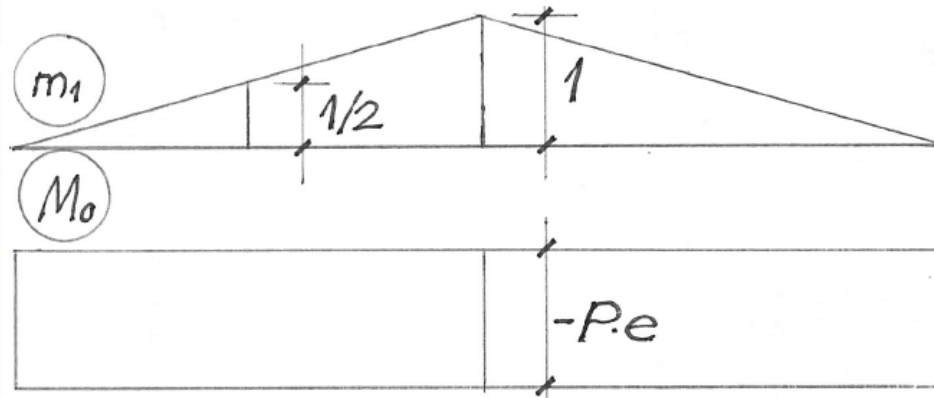
$$X_1 = -\frac{\delta_{1v}}{\delta_{11}} \quad (12.4)$$

A sada odredimo kutove zaokreta,  $\delta_{11}$  i  $\delta_{1v}$ .

U tu svrhu treba nacrtati tijekove momenata savijanja (slika 12.7):

- od nepoznatog momenta  $X_1$ , za koji uzimamo da nad potporom ima jediničnu vrijednost i
- od sile prednapinjanja.

## 12.2 Djelovanje staticke neodređenosti



Slika 12.7: Momenti savijanja duž PB nosača:  
od jediničnog momenta (gore);  
od sile prednapinjanja (dolje)

Tako se dobije da je kut zaokreta od jediničnoga momenta:

$$EI\delta_{11} = \frac{1 \cdot l}{2} \cdot \frac{2}{3} \cdot 2 \quad (12.5)$$

ploština      dva  
lika                lika  
ordinata ispod težišta

Pri određivanju odgovarajućega kuta zaokreta od sile prednapinjanja zanemaruјemo i trenutačne i vremenske gubitke te sile.

Prisjetimo se kako je **kut zaokreta** jednak **ploštini** lika što predočuje **tijek momenata** pomnoženoj s **ordinatom tijeka jediničnog momenta** na **apsisu težišta lika** što predočuje tijek **dotičnoga momenta**.

## 12.2 Djelovanje statičke neodređenosti

Dakle uzimamo da je **sila prednapinjanja nepromjenjiva duž nosača**, a takva je i **u vremenu**.

Kut je zaokreta od nje:

$$EI\delta_{1v} = -P \cdot e \cdot l \cdot \frac{1}{2} \cdot 2 = -P \cdot e \cdot l \quad (12.6)$$

Uvrstimo dobivene vrijednosti u jedn. (12.4):

$$X_1 = -\frac{3P \cdot e \cdot l}{2l} = -\frac{3}{2} P \cdot e \quad (12.7)$$

S druge strane, **ukupni se moment savijanja** u bilo kojem presjeku nosača sastoji od **momenta na osnovnom**, statički određenom, **sustavu,  $M^0$** , i **momenta od statičke neodređenosti,  $m_1 \cdot X_1$** :

$$M = M^0 + m_1 \cdot X_1 \quad (12.8)$$

pri čemu je  $m_1$  - ordinata na tijeku jediničnoga momenta u danomu presjeku.

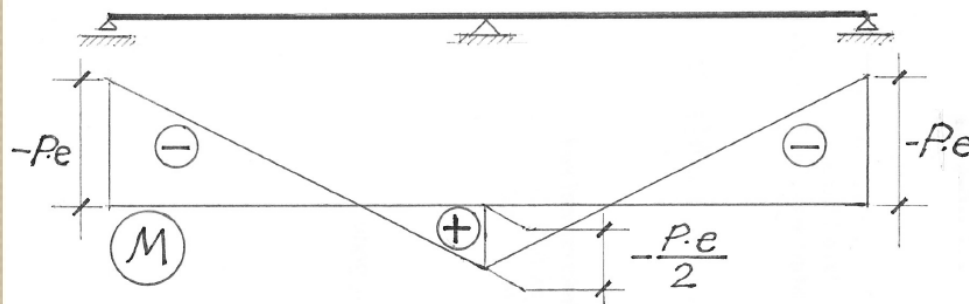
## 12.2 Djelovanje statičke neodređenosti

Ako za  $M^0$  uvrstimo njegovu vrijednost, jedn. (12.8) poprima za presjek nad potporom oblik:

$$M_B = -P \cdot e + \frac{3}{2} P \cdot e = \frac{1}{2} P \cdot e \quad (12.9)$$

Pri tomu smo se držali **dogovora** uvriježena u **Gradičnoj statici**: moment je **pozitivan** ako u **donjim** vlaknima izaziva **vlak**.

A sada nacrtajmo tijek ukupnih momenata savijanja duž nosača od djelovanja prednapinjanja (slika 12.8).



Slika 12.8: Tijek ukupnih momenata duž PB nosača

Uočavamo **zapanjujuću razliku** između **statički određenih** i **statički neodređenih** nosača: u presjeku nad potporom

nastaje moment **SUPROTNOGA PREDZNAKA** od onoga što bi se dobio jednostavnim množenjem  $P \cdot e$ .

## 12.2 Djelovanje statičke neodređenosti

To onda znači da se uz **rub presjeka bliži natezi** pojavljuje **VLAK**, a ne tlak, kako bi se očekivalo.

Naravno da to ima **nepovoljan utjecaj** na **učinak prednapinjanja**.

Pogledajmo sada što je s **pridržajnim silama**.

$$B = -\frac{X_1}{l} \cdot 2 = -\frac{3P \cdot e}{l} \quad (12.10)$$

$$A = C = \frac{B}{2} = \frac{3P \cdot e}{2l} \quad (12.11)$$

Dakle nad srednjom se potporom dobije pridržajna sila što **SPRJEČAVA ODIZANJE** nosača.

Sve **pridržajne sile zajedno** tvore **međusobno uravnotežen sustav**.

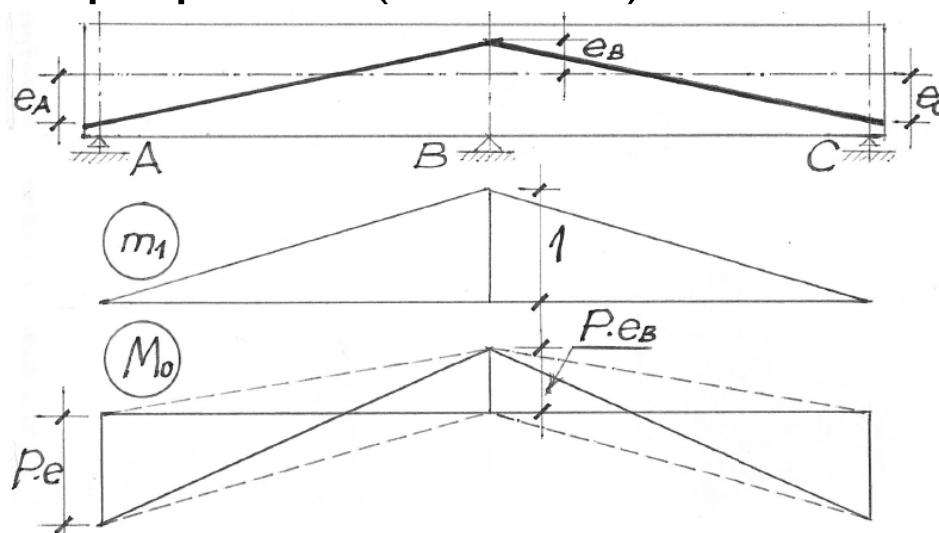
Tako dolazimo do **temeljne razlike** između **statički određenih i statički neodređenih** sustava.

## 12.2 Djelovanje staticke neodređenosti

- U staticki **određenih** sustava **NE NASTAJU PRIDRŽAJNE SILE** prigodom **napinjanja** natega.
- U staticki **neodređenih** sustava **NASTAJU PRIDRŽAJNE SILE** prigodom **napinjanja** natega.

To su staticki **neodređene** ili **PREKOBROJNE pridržajne sile**.

Razmotrimo sada slučaj prave natege sa skretanjem nad potporom (slika 12.9).



Slika 12.9:AB nosač prednapet nategom lomljene osi

Uočimo kako je u **svim** presjecima nad potporama natega **mimoosna**, s tim što je  $e_A = e_C = e$ .

Odgovarajući tijekovi **momenata savijanja** također su predviđeni na slici.

## 12.2 Djelovanje statičke neodređenosti

Kut zaokreta od **jediničnoga** momenta savijanja jednak je kao u **predhodnomu** slučaju:

$$EI\delta_{11} = \frac{2l}{3} \quad (12.5)$$

Za dobivanje kuta zaokreta od **vanjskog opterećenja** (od mimoosnosti natege) služimo se **pojedinačnim** prinosima mimoosnosti nad pojedinim potporama (isprekidane crte na donjem dijelu slike 12.9):

$$EI\delta_{1v} = -\frac{1}{2}P \cdot e \cdot l \cdot \frac{1}{3} \cdot 2 + \frac{1}{2} \cdot P \cdot e_B \cdot \frac{2}{3} \cdot 2 = \frac{2}{3}P \cdot l \left( e_B - \frac{e}{2} \right) \quad (12.12)$$

**Punom** je crtom predviđeno **ukupno** djelovanje mimoosnosti natege.

Vrijednost nepoznatog **momenta nad potporom** dobije se uvrštavanjem dobivenih kutova zaokreta u jedn. (12.4):

$$X_1 = \frac{(2/3)P \cdot l \left( e_B - (e/2) \right)}{(2/3)l} = P \left( e_B - \frac{e}{2} \right) \quad (12.13)$$

## 12.2 Djelovanje staticke neodređenosti

Sada možemo dobiti **ukupni moment savijanja** nad potporom:

$$M_B = P \cdot e_B - P \left( e_B - \frac{e}{2} \right) = P \cdot \frac{e}{2} \quad (12.14)$$

Uočavamo kako se u izrazu za  $M_B$  UOPĆE NE POJAVLJUJE  $e_B$ !  
Dapače, dobili smo POTPUNO JEDNAKU VRIJEDNOST kao u predhodnom slučaju!

Iz ovoga slijedi da KAKAV GOD BIO  $e_B$ , UVIJEK DOBIVAMO JEDNAKE MOMENTE DUŽ NOSAČA, POD UVJETOM DA SU JEDNAKE MIMOOSNOSTI NA SKRAJNJIM POTPORAMA.

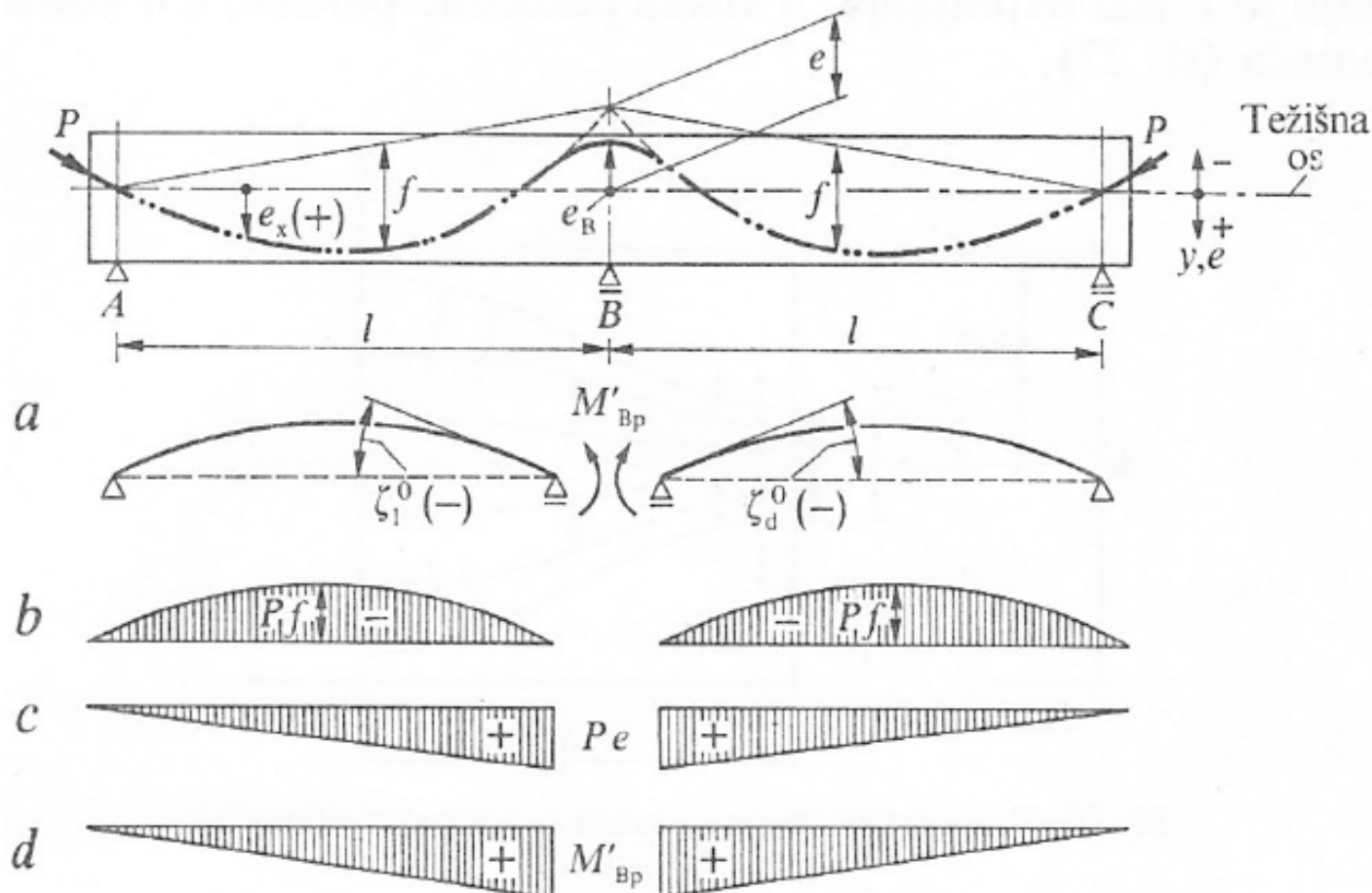
Ovo je važna vlastitost **statički neodređenih nosača**:

- Dokle god je duž raspona **ista krivulja mimoosnosti natege**, možemo po volji mijenjati **mimoosnost nad srednjom potporom**.

## 12.2 Djelovanje statičke neodređenosti

Pogledajmo kako to izgleda u slučaju natege jednolike zakrivljenosti (slika 12.10).

Radi jednostavnosti, zaobljenje osi natege nad međupotporom nadomjestit ćemo lomom.



Slika 12.15: Određivanje nepoznatog momenta nad potporom u slučaju zakrivljene natege<sup>21</sup>

## 12.2 Djelovanje staticke neodređenosti

Kut zaokreta od jediničnog momenta ovoga puta ne ćemo ni ispisivati.

S druge strane, kut zaokreta od vanjskog opterećenja (od mimoosnosti natege) sastoji se od prinosa lika pod parabolom i prinosa trokuta:

$$EI\delta_{1v} = -\frac{2}{3}P \cdot f \cdot l \cdot \frac{1}{2} \cdot 2 + \frac{1}{2}P \cdot e \cdot l \cdot \frac{2}{3} \cdot 2 = \frac{2}{3}P \cdot l \cdot (e - f) \quad (12.15)$$

Vrijednost nepoznatog **momenta nad potporom** dobije se uvrštavanjem dobivenih kutova zaokreta u jedn. (12.4):

$$X_1 = \frac{(2/3)P \cdot l \cdot (e - f)}{(2/3)l} = P \cdot (e - f) \quad (12.16)$$

Ukupni je moment nad potporom:

$$M_B = P \cdot e - P \cdot (e - f) = P \cdot f \quad (12.17)$$

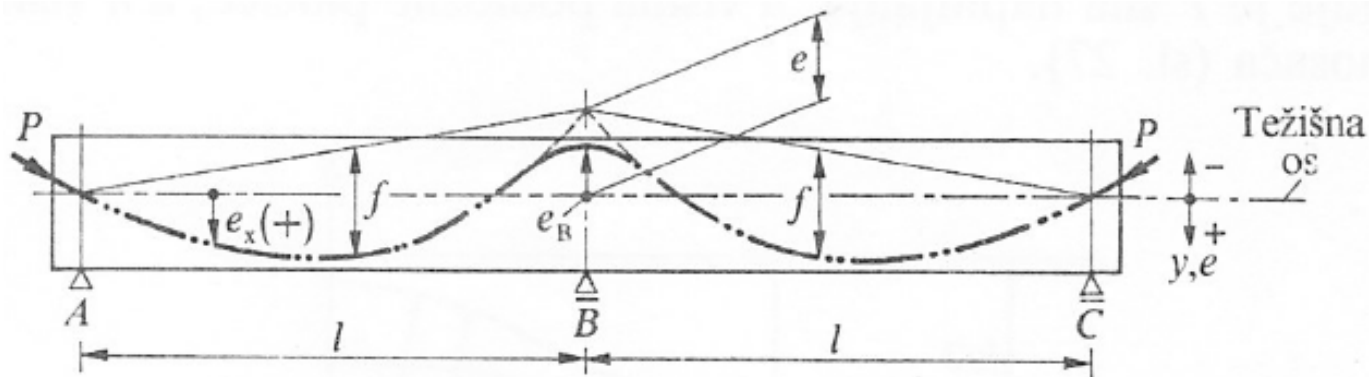
Prema tome, **natega jednoliko zakrivljene osi zadane strjelice može se po volji pomicati gore-dolje**, pod uvjetom da **os natege prolazi težištem presjeka nad skrajnjim potporama**.

## 12.2 Djelovanje statičke neodređenosti

Dakle taj **pomak** ne utječe na učinak prednapinjanja.

Međutim, **najmanji utrošak čelika i najveća granična nosivost pri savijanju** postižu se kada mimoosnost nad ležajem,  $e_0$ , i strjelica parabole,  $f$ , imaju **najveće moguće vrijednosti**.

Praktično ostvariv oblik natege predočen je na slici 12.11.



Slika 12.11: Praktično ostvariv oblik protežne zakrivljene natege

Gornji odnosi vrijede i ako rasponi polja nisu jednaki: ukupni je moment savijanja nad međupotporom jednak zbroju umnoška  $P \cdot e$  i momenta od statičke neodređenosti,  $X$ :

$$M_B = P \cdot e + X \quad (12.18)$$

## 12.2 Djelovanje statičke neodređenosti

Uočimo još kako iz izraza (12.16) slijedi da u slučaju kada je  
 **$e = f$  moment statičke neodređenosti iščezava.**

To onda znači da **iščezavaju i pridržajne sile**.

Vlastitost **oblika osi natega** pri kojoj se to ostvaruje naziva se  
**VLASTITOŠĆU KONKORDANTNOSTI**.

Do prije 50-ak godina toj je vlastitosti pridavana **nesrazmjerne velika važnost**, pa su projektanti nastojali postići takav oblik osi natega.

Naravno da je to iziskivalo **višekratno opetovanje proračuna**, a kako u ono doba **nije bilo** moćnih **računala**, sve je to iziskivalo **dugotrajno i mukotrpno računanje**.

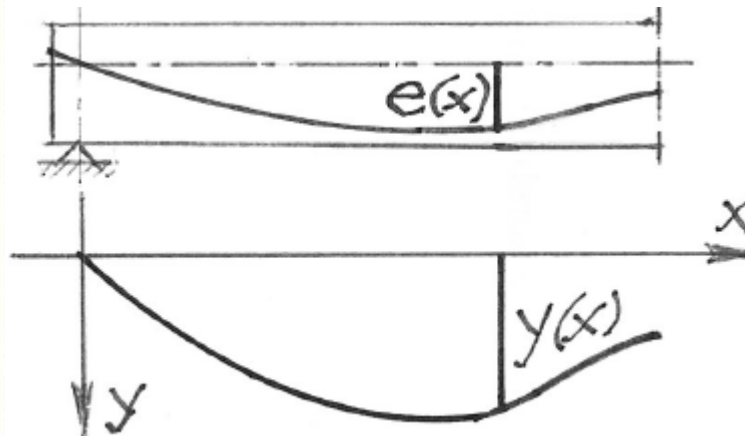
Srećom, inženjeri su postupno uvidjeli kako je to **jalov posao**, pa se danas držimo onoga što je rečeno u svezi sa slikom 12.11: mimoosnost nad ležajem,  $e_0$ , i strjelica parabole,  $f$ , trebaju imati **najveće moguće vrijednosti**.

## 12.2 Djelovanje staticke neodređenosti

Već je rečeno kako pri određivanju **statički prekobrojnih reznih sila** vrijede **svi** poznati **postupci građevne statike**.

Naravno, u **složenijim** slučajevima rabe se u pravilu **računalni programi** što su danas **dostupni** gotovo svima.

Za **nešto manje složene** sustave vrlo je prikladan postupak **skretnih sila** ili **jednakovrijednih poprečnih opterećenja**.



Slika 12.12: Geometrija osi natege

Razmotrimo PB nosač predočen na slici 12.12.

- ✗ **Geometrijski su pokazatelji osi natege:**
- \* **mimoosnost:**

$$e(x) = f(x) \quad (12.19)$$

\* **kut nagiba tangente na os:**

$$\frac{df(x)}{dx} = \varphi(x) \quad (12.20)$$

## 12.2 Djelovanje staticke neodređenosti

\* **zakrivljenost osi natege:**

$$\frac{1}{R(x)} = \frac{d^2 f(x)}{dx^2} \quad (12.21)$$

S druge strane, pogledajmo **geometrijske pokazatelje progibne krivulje nosača:**

$y \rightarrow$  **ordinata progibne krivulje;**

$\frac{dy}{dx} \rightarrow$  **kut zaokreta progibne krivulje;**

$\frac{d^2 y}{dx^2} \rightarrow$  **zakrivljenost osi nosača.**

Pokušajmo uspostaviti **svezu između geometrije osi natege i progibne krivulje nosača.**

Dakle treba naći **jednakovrijedno okomito** (skretno) **opterećenje  $p(x)$**  što će dati **rezne sile jednake** onima pri napinjanju natege.

## 12.2 Djelovanje staticke neodređenosti

Podjimo od izraza za **moment savijanja od sile prednapinjanja**:

$$M(x) = P \cdot f(x) \quad (12.22)$$

Zatim se prisjetimo **Mohrova stavka** o odnosu **momenta savijanja i vanjskog opterećenja**:

$$\frac{d^2 M(x)}{dx^2} = P \cdot \frac{d^2 f(x)}{dx^2} = EI \frac{d^4 y}{dx^4} = s(x) \quad (12.23)$$

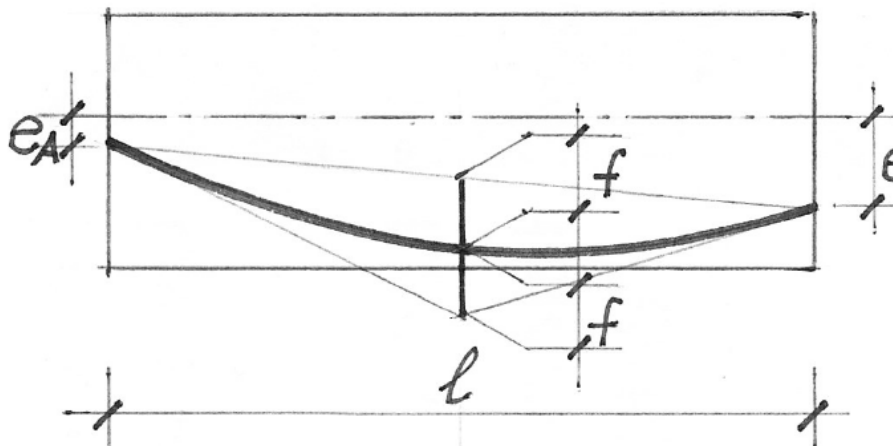
Odavde se izravno dobiva **odnos između progibne krivulje nosača i jednakovrijednoga skretnog opterećenja** što djeluje **okomito** na os nosača:

$$P \cdot \frac{d^2 f(x)}{dx^2} = -s(x) \quad (12.24)$$

**Za zadani oblik osi natege treba odrediti pripadno okomito (skretno) opterećenje.**

Najzornije se to vidi iz primjera.

## 12.2 Djelovanje statičke neodređenosti



Slika 12.13: Odsječak statički neodređenoga PB nosača

Traži se **poprečno opterećenje** što nadomješta djelovanje natege.

Ispišimo prvo opći izraz za **mimoosnost** natege:

$$e = f(x) = e_A + \frac{e_B - e_A}{l} \cdot x + \frac{2f}{l/2} \cdot x - \frac{4f}{l^2} \cdot x^2 \quad (12.25)$$

Zatim derivirajmo ovaj izraz dva puta po x:

$$\frac{d^2 f(x)}{dx^2} = -\frac{8f}{l^2} \quad (12.26)$$

Na slici 12.13 predviđen je odsječak statički neodređenoga noga PB nosača napeta **nadomjesnom nategom** jednolike zakrivljivosti.

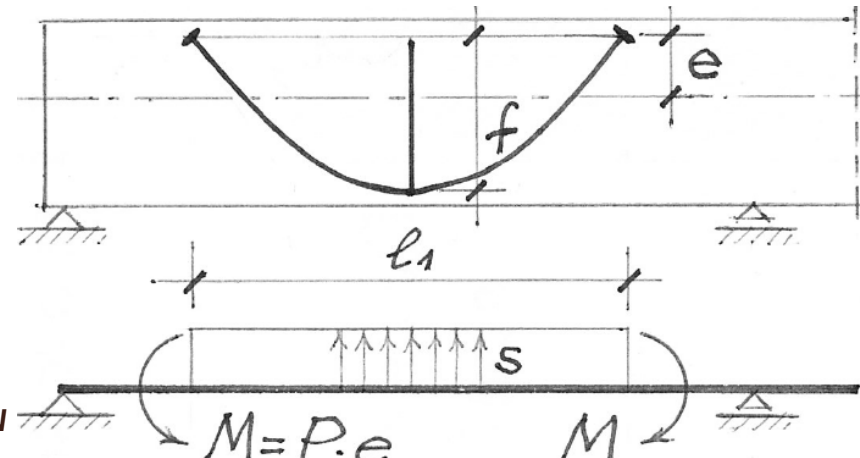
Položaj je osi **općenit** (različite mimoosnosti na krajevima polja).

## 12.2 Djelovanje staticke neodređenosti

Iz ovoga se neposredno dobije:

$$s(x) = -\frac{8f}{l^2} \cdot P \quad (12.27)$$

Drugi se primjer odnosi na **nategu što se ne proteže duž cijelog polja** (slika 12.14).



Slika 12.14: Umetnuta kratka natega u polju

Primjer se razlikuje od predhodnoga samo utoliko što se moraju uzeti u obzir momenti savijanja što djeluju na mjestima usidrenja natege.

Skretno je opterećenje kao i u predhodnom slučaju:

$$s(x) = -\frac{8f}{l^2} \cdot P \quad (12.27)$$

## 12.3 Granična nosivost SN PB nosača

Za staticki ODREĐENE nosače vrijedi da kada u **najjače napregnutu presjeku** dođe do **iscrpljenja nosivosti**, nastupa SLOM CIJELOGA NOSAČA.

Dakle ako poznajemo **oblik poprečnoga presjeka i vlastitosti gradivâ**, možemo odrediti moment savijanja što odgovara ISCRPLJENJU NOSIVOSTI.

Valja naglasiti da taj moment **ne zavisi od jačine ni raspodjelbe vanjskog opterećenja**.

Od **raspodjelbe produljenja/skraćenja** po visini presjeka zavisi hoće li **slom** nastupiti zbog **iscrpljenja nosivosti betona ili čelika**.

U svakomu slučaju, kako je već rečeno, **iscrpljenjem nosivosti PRESJEKA**, nastupa SLOM CIJELOGA NOSAČA.

U staticki NEODREĐENIH nosača u pravilu nije tako – oni imaju **zalihu nosivosti NAKON ISCRPLJENJA NOSIVOSTI NAJJAČE NAPREGNUTOGA PRESJEKA**.

## 12.3 Granična nosivost SN PB nosača

U statički **neodređenih** sklopova nosivi se sklop **postupno** pretvara u **mehanizam**.

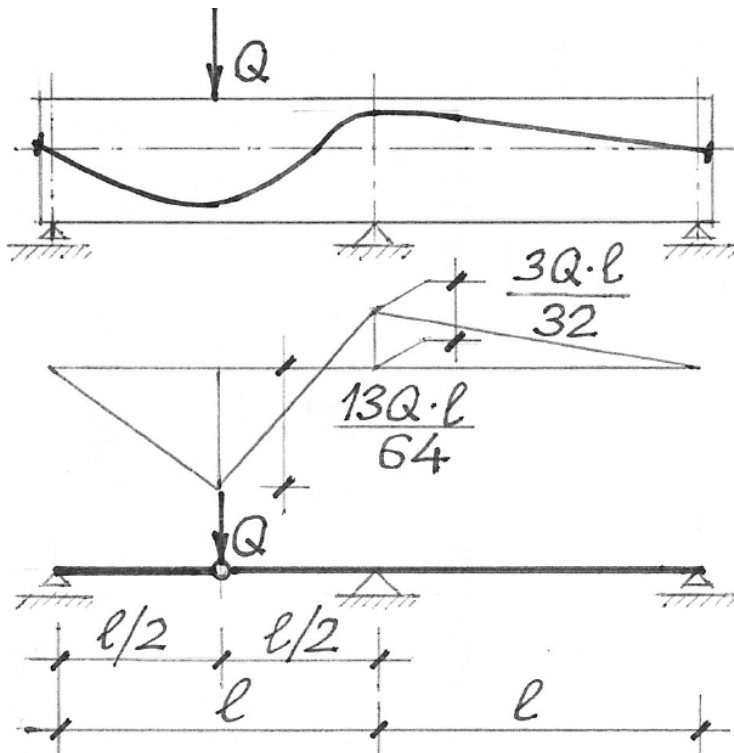
**Opterećenje se postupno povećava** dok **moment savijanja** ne dosegne granicu **iscrpljenja nosivosti** u broju presjekā koji premašuje stupanj statičke neodređenosti za jedan.

Valja naglasiti da u presjeku u kojem **moment savijanja** doseže granicu **iscrpljenja nosivosti** nastaje tzv. PLASTIČNI ZGLOB.

Uočimo bitnu razliku između običnog i plastičnoga zgloba:

- **Obični** je zglob dio sklopa što NE MOŽE PREUZETI MOMENTA SAVIJANJA.
- **Plastični** je pak zglob mjesto u sklopu što preuzima MOMENT SAVIJANJA JEDNAK GRANIČNOJ NOSIVOSTI, dakle NAJVJEĆI MOGUĆI.

## 12.3 Granična nosivost SN PB nosača



Slika 12.15: Momenti od pojedinačne sile u jednom polju

Pokazat ćemo na primjeru grede preko dvaju polja (slika 12.15) opterećene **pojedinačnom silom**  $Q$  u prvomu kako se nakon pojave **plastičnoga zgloba** u presjeku pod silom **opterećenje** (ta sila) može **znatno povećati** dok se nosač ne pretvori u **mehanizam** pri pojavi **drugoga plastičnoga zgloba** (u presjeku nad potporom).

Lako se može pokazati da je moment nad potporom:

$$M_B = \frac{3Q \cdot l}{32} \quad (12.28)$$

(Dobro bi bilo to provjeriti **za vježbu** i, naravno, izračunati i **moment u polju**).

## 12.3 Granična nosivost SN PB nosača

Moment je u polju:

$$M_{AB} = \frac{13Q \cdot l}{64} \quad (12.29)$$

Uzmimo da sila **Q** postupno raste do vrijednosti **Q<sub>pI</sub>** pri kojoj moment u presjeku u polju doseže **granicu iscrpljenja nosivosti presjeka**.

Pretpostavimo li dalje da nosač ima **po cijeloj duljini jednaku graničnu nosivost**, izlazi da je **sljedeći presjek** u kojem će biti dosegnuta **granična nosivost** onaj nad potporom.

Međutim, sada nosač djeluje po **drugoj statičkoj shemi** (donji dio slike) – postao je tzv. **Gerberov nosač**.

Sada sila **Q** djeluje **na kraju prijepusta** grede s prijepustom.

Zaliha je nosivosti presjeka nad potporom:

$$\Delta M = \left( \frac{13}{64} - \frac{3}{32} \right) Q \cdot l = \frac{7}{64} Q \cdot l \quad (12.30)$$

## 12.3 Granična nosivost SN PB nosača

Taj moment izaziva sila  $\Delta Q$  na kraku II2:

$$\Delta Q \cdot \frac{l}{2} = \frac{7Q \cdot l}{64} \quad (12.31)$$

Odavde možemo dobiti koliko je **povećanje sile Q** u odnosu na onu što je izazvala pojavu **prvoga plastičnoga zgloba**:

$$\frac{\Delta Q}{Q} = \frac{7}{32} \quad (12.32)$$

Prema tome povećanje je oko **21,9 %**, dakle **znatno**.

Nakon pojave **drugoga plastičnoga zgloba** nosač se pretvara u **mehanizam i gubi sposobnost nošenja opterećenja**.

Valja naglasiti kako spomenuti **plastični zglobovi** imaju **ograničenu zaokretnu sposobnost** (rotacijski kapacitet) već i zbog toga što su **ograničena granična skraćenja betona** ( $3,5\%_{\text{o}}$ ) i produljenja čelika ( $10\%_{\text{o}}$ ).

## 12.3 Granična nosivost SN PB nosača

Statički se **neodređeni** (SN) nosači **razlikuju** od statički **određenih** u još jednoj bitnoj pojedinosti: dok je u statički određenih **unaprijed određen položaj presjeka** u kojem dolazi do **iscrpljenja nosivosti**, u statički **neodređenih nije tako**.

Zapravo se u statički neodređenih samo u **idealnomu** slučaju može dogoditi iscrpljenje nosivosti **istodobno u svim najjače napregnutim presjecima** (mjestima najvećih momenata savijanja).

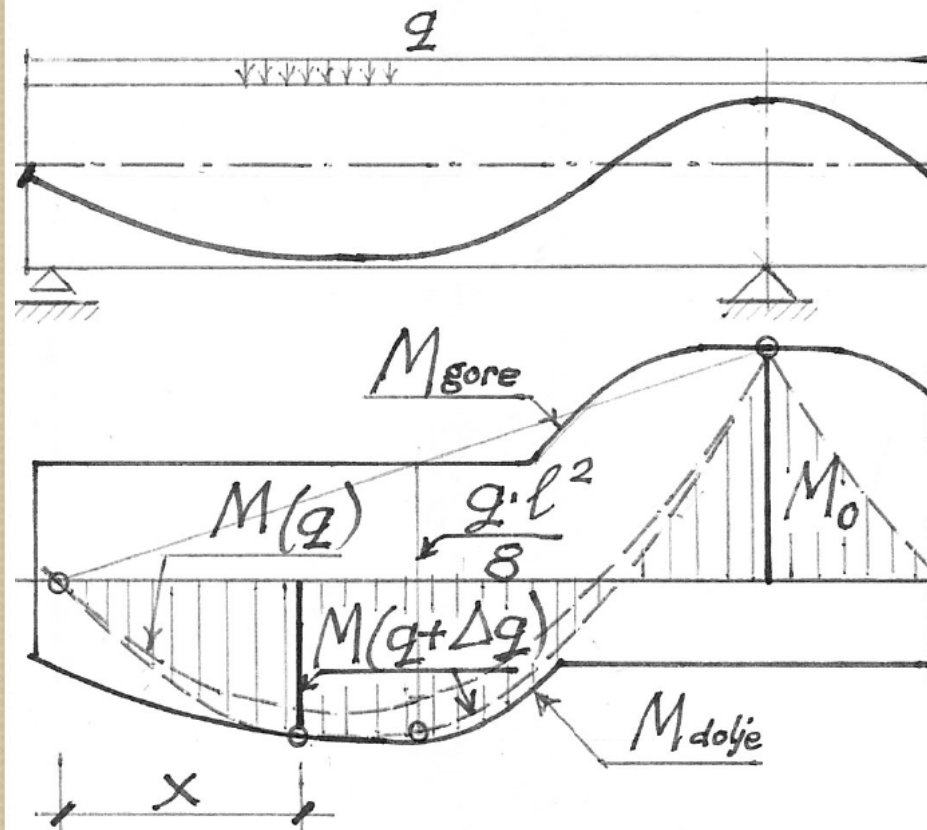
**U praksi** tomu u pravilu **nije tako**, pa se pri određivanju **slomnog opterećenja, položaja plastičnih zglobova i slomnog mehanizma** prvo nacrtava **ovojnica** (envelopa) **graničnih nosivosti**, pa se u nju unose **tijekovi momenata savijanja od vanjskog opterećenja**.

**U dodirnim točkama** ovih krivulja nalaze se **plastični zglobovi**.

## 12.3 Granična nosivost SN PB nosača

Naravno, **ovojnicu** je moguće dobiti samo uz pomoć **računala**.

Izneseno ćemo pokazati na jednostavnu primjeru PB nosača **preko dvaju polja pod jednoliko rasprostrtnim opterećenjem** (slika 12.16).



Slika 12.16: Granični moment PB nosača

Uzmimo da **prvi plastični zglob** nastaje u **presjeku nad potporom**.

Počev od toga trenutka nosač se pretvara u **dvije slobodno poduprte grede**.

**Opterećenje** može i dalje rasti sve dok **krivulja momenata ne dodirne ovojnicu**.

## 12.3 Granična nosivost SN PB nosača

Uočimo kako postoje **dvije ovojnice**: jedna za **pozitivne**, a druga za **negativne** momente savijanja.

Naravno, obje vrijede za **zadani presjek nosača i zadani razred betona**.

Pri tomu se granične nosivosti računaju uz ove **pretpostavke**:

- Na **vlačnoj je strani** najveći smjestivi broj natega i **najveća dopustiva količina nenapete armature**.
- Na **tlačnoj je strani** samo **najmanja potrebna količina armature** (minimalna armatura).
- Za svaki **pojedinačni presjek** vrijede **pretpostavke** što inače vrijede pri **proračunu granične nosivosti**.

## 12.4 Primjena teorije plastičnosti

**Gradivo teorije plastičnosti** toliko je opsežno da bi ga trebalo izlagati cijelo semestar.

Međutim, ograničit ćemo se na iznošenje **dvaju temeljnih teorema, statičkog i kinematičkoga**, i na prikaz **dvaju osnovnih postupaka proračuna, statičkog i kinematičkoga**, na primjeru **jednostrano upete grede** opterećene dvjema jednakim **pojedinačnim silama** u trećinskim točkama raspona.

- **Statički teorem**

Ako se za nosivi **štapni sustav** može naći **statičko polje momenata savijanja** (preraspodjelba) što **zadovoljava uvjete ravnoteže i plastičnosti**, te **rubne uvjete**, onda je **jačina opterećenja manja ili najviše jednaka graničnoj**.

Ni u jednomu presjeku **moment savijanja** ne premašuje **moment plastičnosti**.

**Granično je opterećenje najviša vrijednost svih opterećenja** što odgovaraju **raznim raspodjelbama momenata savijanja**.

## 12.4 Primjena teorije plastičnosti

Drugim riječima, pošto za **zadani razmještaj opterećenja** nađemo **najveći moment savijanja** (moment plastičnosti), tražimo **povećanje sile** što je nužno da bi se u **sljedećem najjače napregnutom presjeku** pojavio **moment plastičnosti**.

Pri tomu se služimo uvriježenom **metodom sila**.

- **Kinematicki teorem**

Ako je za **štapni sustav** jačina opterećenja **veća ili najmanje jednaka graničnoj** za **kinematicki mogući oblik sloma**, pri kojem **zaokreti plastičnih zglobova** zadovoljavaju uvjete **kinematickoga lanca** i **kinematicke rubne** uvjete, **granično je opterećenje** sustava **najmanja vrijednost** svih opterećenja što odgovaraju **različitim kinematickim mehanizmima**.

**Kinematicki mogući oblik sloma** jest onaj oblik u kojem je **broj plast. zglobova veći** za jedan od stupnja stat. neodređenosti.

## 12.4 Primjena teorije plastičnosti

Broj je mogućih kinematičkih mehanizama jednak broju plastičnih zglobova.

Dakle po **kinematičkom teoremu** svakom je mogućem **kinematičkomu mehanizmu** pridružena **jačina graničnog opeterećenja**, a **mjerodavna je najmanja vrijednost**.

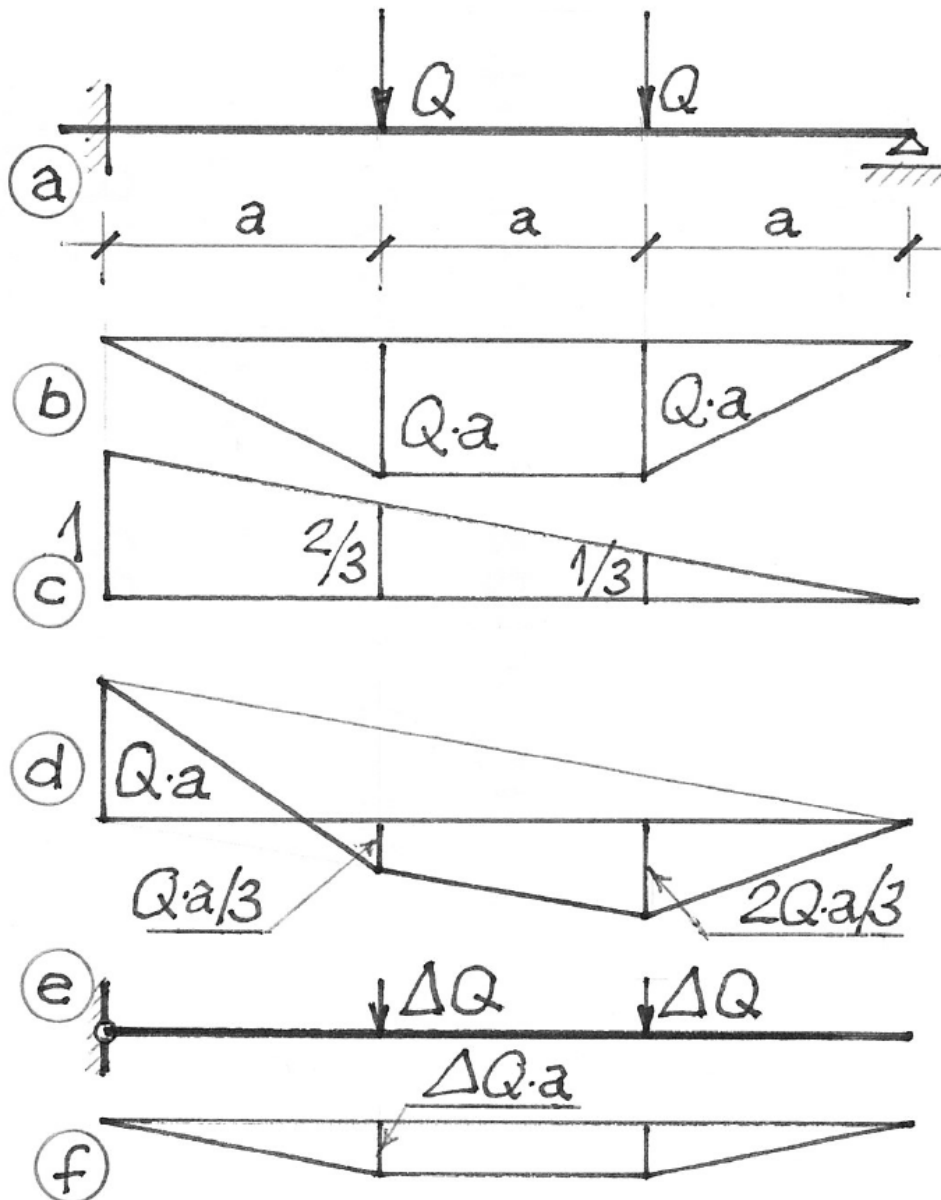
- **Statički postupak**

Prvo se odredi **tijek momenata savijanja**, a zatim se uzima da se u presjeku s **najvećim momentom** pojavljuje **plastični zglob**.

To dovodi do **promjene statičkog sustava** (sniženja stupnja statičke neodređenosti).

Zatim se na **novom sustavu** računa **priraštaj sile** što je nužan kako bi se u **sljedećem najjače napregnutom presjeku** pojavio **plastični zglob** (slika 12.17).

## 12.4 Primjena teorije plastičnosti



Slika 12.17: Granična nosivost po statičkom postupku

Kut zaokreta od **vanjskog opterećenja**:

$$\vartheta_Q = \frac{1}{2} Q \cdot a^2 \cdot 2 = Q \cdot a^2 \quad (12.33)$$

Od jediničnog momenta:

$$\vartheta_1 = \frac{1}{2} \cdot 3a \cdot \frac{2}{3} = a \quad (12.34)$$

Odavde je **moment na upetomu kraju**:

$$M_0 = Q_0 \cdot a \quad (12.35)$$

iz čega se dobije **sila** pri kojoj nastaje **prvi plastični zglob**:

$$Q_0 = \frac{M_0}{a} \quad (12.36)$$

## 12.4 Primjena teorije plastičnosti

**Novi je staticki sustav slobodno poduprta greda (slika 12.17e).**

Budući da je moment savijanja u **sljedećem najjače napregnutomu presjeku** jednak  $(2Q_0 \cdot a / 3)$ , priraštaj sile,  $\Delta Q$ , treba biti tolik da se u tomu presjeku dosegne moment  $M_0$ :

$$\Delta Q \cdot a + \frac{2}{3} Q_0 \cdot a = Q_0 \cdot a \quad (12.37)$$

Odavde se dobije:

$$\Delta Q \cdot a = \frac{Q_0 \cdot a}{3} \quad (12.38)$$

Dakle priraštaj je sile:

$$\Delta Q = \frac{Q_0}{3} \quad (12.39)$$

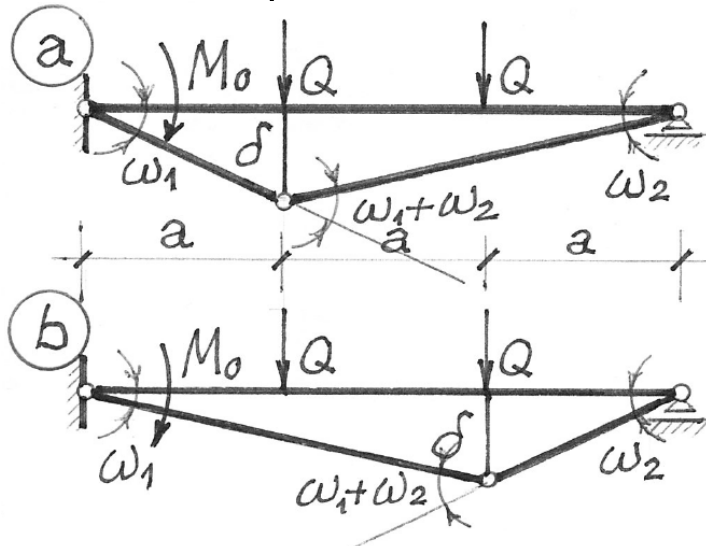
To znači da je najveća sila:

$$Q_{max} = Q_0 + \Delta Q = (4/3)Q_0 \quad (12.40)$$

## 12.4 Primjena teorije plastičnosti

- **Kinematicki postupak**

Prvo nacrtajmo dva kinematicki moguća mehanizma (slika 12.18).



Slika 12.18: Granična nosivost po kinematickom postupku

$$R_u = M_0 \cdot \omega_1 + M_0(\omega_1 + \omega_2) = M_0(2\omega_1 + \omega_2) \quad (12.41)$$

pri čemu su kutovi zaokreta:

$$\omega_1 = \delta/a; \quad \omega_2 = \delta/2a; \quad \omega_1 = 2\omega_2; \quad (12.42)$$

Iz ovoga slijedi da je rad **unutarnjih sila**:

$$R_u = M_0 \cdot 5\omega_2 = (5M_0 \cdot \delta)/(2a) \quad (12.43)$$

Za oba mehanizma treba ispisati **jednačbe rada** i **izjednačiti rad unutar- njih s radom vanjskih sila**.

Počnimo od mehanizma a.

Rad je **unutarnjih sila**:

## 12.4 Primjena teorije plastičnosti

S druge strane rad je **vanjskih** sila:

$$R_v = \frac{3Q \cdot \delta}{2} \quad (12.44)$$

**Izjednačimo** rad **unutarnjih** s radom **vanjskih** sila:

$$\frac{5M \cdot \delta}{2a} = \frac{3Q \cdot \delta}{2} \quad (12.45)$$

Odavde se dobiva **najveće vanjsko opterećenje**:

$$\max Q = \frac{5M_0}{3a} \quad (12.46)$$

A sada pogledajmo mehanizam b.

Ispišimo izraz za rad unutarnjih sila:

$$R_u = M_0 \cdot \omega_1 + M_0(\omega_1 + \omega_2) = M_0(2\omega_1 + \omega_2) \quad (12.41)$$

Uočimo da smo dobili **potpuno jednak** izraz.

Sada **kutovi zaokreta** imaju **obrnute** vrijednosti:

$$\omega_1 = \delta/2a; \quad \omega_2 = \delta/a; \quad \omega_2 = 2 \omega_1; \quad (12.42a)$$

## 12.4 Primjena teorije plastičnosti

Uvrstimo li ove vrijednosti u jedn. (12.41) dobit ćemo:

$$R_u = M_0 \cdot 2\omega_2 = (2M_0 \cdot \delta)/a \quad (12.43a)$$

Rad je **vanjskih sila jednak** kao i u predhodnom slučaju.

**Izjednačavanjem** rada **unutarnjih** s radom **vanjskih sila** dobije se:

$$\frac{2M_0 \cdot \delta}{a} = \frac{3Q \cdot \delta}{2} \quad (12.46)$$

Iz ove se jednačbe dobiva **najveće vanjsko opterećenje**:

$$\max Q = \frac{4}{3}Q_0 \quad (12.47)$$

Dakle dobili smo **potpuno jednaku vrijednost** kao po **statičkom** postupku, jedn. (12.40).